

1-(Z)-[2-(三芳基锡基)乙烯基]环戊醇及其衍生物的合成及生物活性

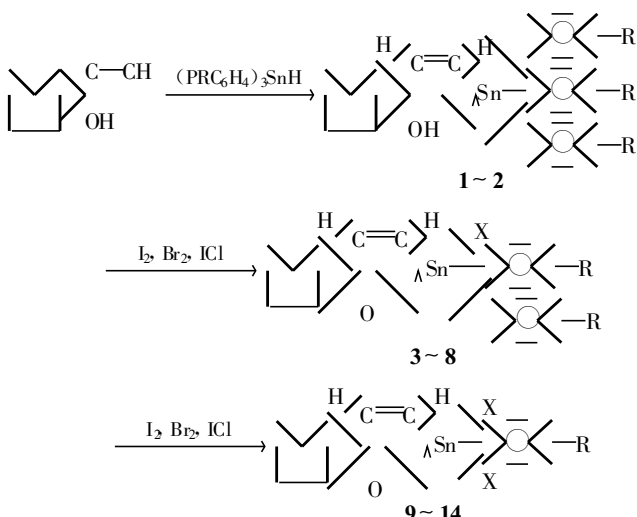
岳淑美^{*} 戴慧聪 潘华德

(东北师范大学化学系 长春 130024)

摘要 合成了14种新的(Z)-[2-(三芳基锡基)乙烯基]环戊醇类有机锡化合物。通过元素分析、IR、¹H NMR对所合成的化合物进行了表征。结果表明(Z)-[2-(三芳基锡基)乙烯基]环戊醇类有机锡化合物中乙烯式双键为顺式构型,分子内羟基与锡原子发生配位,形成五元螯合环。生物活性测定结果表明,二卤化物在抗癌、免疫及受体作用等方面具有优良的活性。

关键词 (Z)-[2-(三芳基锡基)乙烯基]环戊醇, 合成, 生物活性

对有机锡化合物生物活性的研究近年来非常活跃^[1~3]。1992年, Gielen等采用甾环类炔醇合成了O→Sn配位的有机锡甾环类化合物, 并认为这类化合物的抗癌活性优于顺铂类化合物^[4]。美中不足的是这些化合物的有机前体价格昂贵, 产率较低, 不易确定构效关系。鉴于这类甾环前体中五元环部分是与锡原子直接作用的部分, 本文直接选用比较廉价的五元环炔醇为原料, 设计合成了一系列分子内O→Sn配位的有机锡环戊醇类化合物并取得了较好的产率。生物活性测试表明, 部分化合物在抗癌、免疫及受体作用等方面具有优良的活性。合成路线如下:



化合物	1	2	3	4	5	6	7	8	9	10	11	12	13	14
R	H	CH ₃	H	CH ₃	H	CH ₃	H	CH ₃	H	CH ₃	H	CH ₃	H	CH ₃
X		Cl	Cl	Br	Br	I	I	Cl	Cl	Br	Br	I	I	

1 实验部分

1.1 仪器和试剂

PE 2400 型 CHN 元素自动分析仪, Alpha Centauri 型 FTIR 红外光谱仪(KBr 压片), Brucker AC-80 型核磁共振仪(TMS 为内标); Carzeissvia-20X 射线荧光光谱仪测锡, 所有试剂均为市售分析纯。1-乙炔基环戊醇按文献[5, 6]合成, 三苯基氯化锡按文献[7]合成。

1.2 化合物的合成

参照文献[8, 9]方法合成化合物 1, 在氮气保护下, 分别将 9.3 g(84.5 mmol)1-乙炔基环戊醇和 300 mg 过氧化苯甲酰加到等摩尔的三苯基氯化锡的乙醚溶液中, 室温搅拌 4 h, 蒸去溶剂(旋转蒸发)得 35 g 固体, 加 30 mL 乙醇(95%), 加热溶解, 冷却, 有白色晶体析出, 抽滤得 26 g, 产率 68%, mp 79~80 °C。同法合成三对甲苯基锡基乙烯基环戊醇 2 白色晶体, 产率 63%, mp 129~130 °C。

电磁搅拌下, 将 0.79 g(1.73 mmol)三苯基锡基乙烯基环戊醇与 10 mL 含等摩尔的 ICl 的四氯化碳溶液在室温反应 2 h, 减压除去溶剂, 得 0.8 g 粘稠物, 小心加入 10 mL 环己烷, 加热混溶, 冷却, 有化合物 3 白色晶体析出, 抽滤得 0.55 g, 产率 76%, mp 149~150 °C。同法合成了化合物 4~8。

搅拌下, 取 0.79 g(1.73 mmol)三苯基锡基乙烯基环戊醇与 20 mL 含 3.46 mmol ICl 的四氯化碳溶液混溶, 冰盐浴(-10 °C)下反应 1 h, 移去冰浴, 室温下继续搅拌 1 h, 减压除去溶剂, 得 1.4 g 粘稠物, 加入 10 mL 氯仿/石油醚(60~90 °C)(体积比 1:1), 加热溶解, 得化合物 9 白色晶体 0.68 g, 产率 52%, mp 121~122 °C。同法合成了化合物 10~14。

2 结果与讨论

2.1 化合物的合成及波谱分析

化合物 1 通常可用氯气氯化, 但这种方法过于激烈, 反应不易控制且副产物多, 难以分离, 本文采用 ICl 代替 Cl₂, 可使反应在温和条件下进行, 且易定量氯化, 产率较高(表 1)。

表 1 目标化合物的实验数据和分析数据

化合物	分子式	mp/ °C	收率/%	元素分析实测值(计算值)/%		
				C	H	Sn
1	C ₂₅ H ₂₆ OSn	79~80	68	65.12(64.93)	5.62(5.61)	25.89(26.90)
2	C ₂₈ H ₃₂ OSn	129~130	63	67.71(66.82)	6.40(6.41)	23.60(23.58)
3	C ₁₉ H ₂₁ ClOSn	149~150	76	53.85(54.69)	5.08(5.01)	28.32(28.36)
4	C ₁₉ H ₂₁ ClOSn	145~146	57	56.31(56.35)	5.58(5.63)	26.51(26.52)
5	C ₁₉ H ₂₁ BrOSn	143~444	76	49.15(49.18)	4.60(4.56)	25.49(25.58)
6	C ₂₁ H ₂₅ BrOSn	144~145	48	51.24(51.26)	4.94(5.12)	23.19(24.13)
7	C ₁₉ H ₂₁ IOSn	126~127	60.7	44.68(44.65)	4.19(4.14)	22.29(22.23)
8	C ₂₁ H ₂₅ Iosn	96~97	61	46.75(46.78)	4.71(4.67)	22.01(22.02)
9	C ₁₃ H ₁₆ Cl ₂ OSn	121~122	52	41.22(41.32)	4.26(4.27)	31.40(31.40)
10	C ₁₄ H ₁₈ Cl ₂ OSn	109~110	66	42.03(42.97)	4.60(4.63)	29.24(30.29)
11	C ₁₃ H ₁₆ Br ₂ OSn	102~103	54.3	33.48(33.45)	3.54(3.46)	25.38(25.43)
12	C ₁₄ H ₁₈ Br ₂ OSn	98~99	42	35.02(34.97)	3.76(3.77)	24.71(24.69)
13	C ₁₃ H ₁₆ I ₂ OSn	118~120	60.6	27.83(27.80)	2.90(2.88)	21.25(22.21)
14	C ₁₄ H ₁₈ I ₂ OSn	101~102	52	28.36(29.24)	3.11(3.16)	20.58(20.61)

在 IR 谱中所合成的化合物均在 3400~350 cm⁻¹范围内出现了羟基的中等强度窄峰(表

2), 且与正常的叔醇的C—O伸缩振动频率相比(1150 cm⁻¹附近), 目标化合物的C—O伸缩振动均向低频移动, 说明目标化合物中均存在着O→Sn配位键, 因而阻碍了分子间羟基的缔合。分子内氧与锡配位后氧原子上电子云密度降低, 削弱了C—O键, 故与传统的叔醇相比, ν_{C—O}的降低更为明显。

表2 目标化合物的IR及¹H NMR数据

化合物	IR, ν/ cm ⁻¹		¹ H NMR(CDCl ₃), δ
	O—H	C—O	
1	3578	1073	1.033(s, 1H, OH), 1.3~1.8(b, 8H, C ₅ H ₈), 6.213(d, J=12.4 Hz, 1H, CHSn), 7.04(d, J=12.4 Hz, 1H, CH), 7.2~7.5(m, 15H, 3C ₆ H ₅)
2	3575	1068	0.99(s, 1H, OH), 1.5~1.8(b, 8H, C ₅ H ₈), 2.32(s, 3H, CH ₃), 6.10(d, J=12 Hz, 1H, CHSn), 6.92(d, J=12 Hz, 1H, CH), 7.2~7.6(m, 12H, 3C ₆ H ₄)
3	3424	1076	2.32(s, 1H, OH), 1.4~1.8(b, 8H, C ₅ H ₈), 6.244(d, J=11.3 Hz, 1H, CHSn), 6.902(d, J=11.3 Hz, 1H, CH), 7.2~7.5(m, 10H, 2C ₆ H ₅)
4	3534	1066	2.17(s, 1H, OH), 2.35(s, 3H, CH ₃), 1.4~1.8(b, 8H, C ₅ H ₈), 6.234(d, J=11 Hz, 1H, CHSn), 6.84(d, J=11 Hz, 1H, CH), 7.2~7.6(m, 8H, 2C ₆ H ₄)
5	3492	1074	2.27(s, 1H, OH), 1.4~1.8(b, 8H, C ₅ H ₈), 6.29(d, J=11.2 Hz, 1H, CHSn), 6.871(d, J=11.2 Hz, 1H, CH), 7.2~7.5(m, 10H, 2C ₆ H ₅)
6	3536	1072	2.10(s, 1H, OH), 2.35(s, 3H, CH ₃), 1.4~1.8(b, 8H, C ₅ H ₈), 6.296(d, J=11.4 Hz, 1H, CH-Sn), 6.866(d, J=11.4 Hz, 1H, CH), 7.216~7.634(m, 8H, 2C ₆ H ₄)
7	3410	1072	2.71(s, 1H, OH), 4.4~1.8(b, 8H, C ₅ H ₈), 6.38(d, J=11.2 Hz, 1H, CHSn), 6.8(d, J=11.2 Hz, 1H, CH), 7.2~7.8(m, 10H, 2C ₆ H ₅)
8	3558	1059	1.91(s, 1H, OH), 2.34(s, 3H, CH ₃), 1.4~1.8(b, 8H, C ₅ H ₈), 6.38(d, J=11.4 Hz, 1H, CH-Sn), 6.79(d, J=11.3 Hz, 1H, CH), 7.2~7.6(m, 8H, 2C ₆ H ₄)
9	3444	1067	3.28(s, 1H, OH), 1.4~1.8(b, 8H, C ₅ H ₈), 6.2(d, J=10.4 Hz, 1H, CHSn), 6.96(10.4 Hz, 1H, CH), 7.3~7.8(m, 5H, C ₆ H ₅)
10	3543	1064	3.0(s, 1H, OH), 2.37(s, 3H, CH ₃), 1.3~1.7(b, 8H, C ₅ H ₈), 6.2(d, J=10.3 Hz, 1H, CHSn), 6.96(d, J=11.3 Hz, 1H, CH), 7.2~7.6(m, 4H, C ₆ H ₄)
11	3490	1072	2.97(s, 1H, OH), 1.4~1.8(b, 8H, C ₅ H ₈), 6.3(d, J=10.4 Hz, 1H, CH-Sn), 6.87(d, J=10.4 Hz, 1H, CH), 7.3~7.8(m, 5H, C ₆ H ₅)
12	3479	1066	2.77(s, 1H, OH), 2.37(s, 3H, CH ₃), 1.3~1.8(b, 8H, C ₅ H ₈), 6.3(d, J=10.1 Hz, 1H, CHSn), 6.87(d, J=10.1 Hz, 1H, CH), 7.2~7.6(m, 4H, C ₆ H ₄)
13	3479	1066	2.51(s, 1H, OH), 1.4~1.8(b, 8H, C ₅ H ₈), 6.4(d, J=10.3 Hz, 1H, CHSn), 6.6(d, J=10.3 Hz, 1H, CH), 7.2~7.8(m, 5H, C ₆ H ₅)
14	3534	1059	2.43(s, 1H, OH), 2.28(s, 3H, CH ₃), 1.4~1.8(b, 8H, C ₅ H ₈), 6.5(d, J=10 Hz, 1H, CHSn), 7.03(d, J=10 Hz, 1H, CH), 7.1~7.8(m, 4H, C ₆ H ₄)

在¹H NMR谱中(数据见表2), 所有卤化合物中羟基氢的化学位移与1和2相比均向低场移动, 其移动顺序为: 二卤化合物>一卤化合物, 氯化物>溴化物>碘化物, 这是由于卤原子取代苯环后使得锡原子的Lewis酸性增强, 从而使锡原子与羟基氧原子的配位能力增加, 增加幅度为Cl>Br>I, 所有化合物中J_{HC—CH}均小于12 Hz, 说明目标化合物中的乙烯式双键均采取顺式结构^[8], 这是分子内O→Sn配位的必然结果。

2.2 生物活性

抗癌活性采用四氮唑盐(MTT)比色法, 测定化合物对肿瘤细胞的抑制及存活作用。免疫活性通过对大鼠腹腔肥大细胞的抑制作用来观察其活性。对离子通道, 受体作用通过配合物对细胞膜上Ca²⁺离子通道作用来观察其对血管的收缩和舒张作用。并通过α₁受体结合实验测定配合物抑制去甲肾上腺素的结合作用。上述各项实验均在观察24 h后记录结果。详细结果见表3、表4、表5。

表 3 目标化合物对肿瘤细胞的抑制率(%)

化合物	肿瘤细胞	用药浓度/($\mu\text{mol}\cdot\text{L}^{-1}$)			IC_{50}^* / ($\mu\text{mol}\cdot\text{L}^{-1}$)	化合物	肿瘤细胞	用药浓度/($\mu\text{mol}\cdot\text{L}^{-1}$)			IC_{50}^* / ($\mu\text{mol}\cdot\text{L}^{-1}$)
		0.1	0.5	5				0.1	0.5	5	
1	KB	0	4.8	73	2.4	8	KB	17.5	62.4	100	0.54
	HCT	0	12	74.1	1.8		HCT	16.3	68.1	100	0.42
	Bel	3.0	35	81	1.5		Bel	22.1	82.1	100	0.39
2	KB	0	4.3	71	2.4	9	KB	51	90.2	100	0.8
	HCT	0	9	70	2.1		HCT	42	88.4	100	0.5
	Bel	0	17	78	1.8		Bel	45.1	83.4	100	0.4
3	KB	11.5	41.5	87.2	1.2	10	KB	51	92.3	100	0.7
	HCT	26.6	49.6	99.9	0.7		HCT	43.2	89.5	100	0.42
	Bel	8.9	43.5	99.7	1.1		Bel	47.1	88.2	100	0.3
4	KB	10.2	42.1	89.2	1.3	11	KB	39	82.1	99.5	0.77
	HCT	21.5	50.2	99.1	0.6		HCT	43	86.9	98.2	0.5
	Bel	11.4	44.1	99.6	0.8		Bel	49.4	80.3	100	0.49
5	KB	18.2	45	95.4	1.0	12	KB	37.8	81.2	90.3	0.8
	HCT	27.1	52	98.6	0.9		HCT	41.1	87.5	97.2	0.6
	Bel	12.8	75.1	100	0.6		Bel	47.3	89.3	100	0.46
6	KB	19.1	48	98.6	0.9	13	KB	45.7	85.7	100	0.7
	HCT	28.2	51	100	0.5		HCT	47.5	85.3	100	0.61
	Bel	11.9	78.2	99.1	0.7		Bel	43.9	88.4	100	0.54
7	KB	17.1	61.7	98.3	0.54	14	KB	41.6	86.8	100	0.7
	HCT	15.7	67.2	100	0.41		HCT	48.3	88.2	100	0.59
	Bel	21.8	80.1	100	0.4		Bel	44.5	87.1	100	0.51

*半数致死量.

表 4 目标化合物对大鼠腹腔肥大细胞的抑制率(%)

化合物	用药浓度/($\mu\text{mol}\cdot\text{L}^{-1}$)		化合物	用药浓度/($\mu\text{mol}\cdot\text{L}^{-1}$)	
	20	200		20	200
1	20.0	40.0	8	50.1	96.2
2	23.2	42.6	9	97.5	97.5
3	28.0	97.0	10	94.6	98.0
4	24.1	89.2	11	90.5	98.4
5	55.6	98.9	12	22.6	99.2
6	51.3	94.3	13	95.5	98.2
7	51.2	95.4	14	95.5	98.6

表3显示了所合成的化合物对3种癌细胞(KB, HCT和Bel)的抑制活性。在初筛 $5\text{ }\mu\text{mol/L}$ 浓度下,所有化合物均表现出活性,但当用药浓度降到 $0.5\text{ }\mu\text{mol/L}$ 时,化合物间的差别才显示出来。化合物1和2的活性差——卤化物的抑制率均在40%以上,而二卤化物则达80%。当进一步降低用药浓度($0.1\text{ }\mu\text{mol/L}$)时,二卤化物的抑制率仍在40%,化合物1~8活性很低甚至无效。

表4给出了化合物对大鼠腹腔肥大细胞脱颗粒的抑制活性,其中当用药剂量在 $200\text{ }\mu\text{mol/L}$ 时,化合物1和2的活性较低,仅为40%,而化合物3~14则在95%以上。当用药剂量降至 $20\text{ }\mu\text{mol/L}$ 时,差别较大,其中二卤化合物抑制率仍在90%以上,而化合物1~8则表现为低效,毒性试验表明上述化合物毒性较大。

从表5中化合物对血管 Ca^{2+} 通道的影响来看,化合物3~14有一定的扩血管作用,其中二碘化合物13和14呈强阳性反应,即有明显的降血压作用。同时在测试浓度下,化合物3~14可以抑制去甲肾上腺素与 α_1 受体结合,其中二卤化合物效果最佳。而化合物1和2在上述两种测试体系中均表现为无效。生物活性测试表明苯环上甲基的存在对活性的影响不大。

表5 目标化合物对离子通道及 α_1 受体结合试验

化合物	对血管Ca ⁺⁺ 通道效应 1%	Pr ₂ 与 α_1 受体结合 的抑制率 1%	化合物	对血管Ca ⁺⁺ 通道效应 1%	Pr ₂ 与 α_1 受体结合 的抑制率 1%
1	0	6	8	25	69
2	0	0	9	43.5	70.2
3	21.8	55.2	10	41	69.4
4	21.8	54	11	41.7	93.3
5	18.9	52.7	12	44.2	98.4
6	18.9	53.2	13	93	100
7	35	68.7	14	94.2	100

用药浓度为 10^{-5} mol/L.

生物活性测定结果均为中国科学院药物研究所协作提供, 特此感谢.

参 考 文 献

- 1 Saxena A K, Huber F. *Appl Organomet*, 1987, **1**(1): 39
- 2 Gielen M, Huade P, Rudolph W. Eur Pat Appl EP 484596, 1992(*Chem Abstr*, 1992, **117**: 111807x)
- 3 Huade P, Rudolph W, Meunier-Pire J et al. *Organometallics*, 1990, **9**: 2199
- 4 Gielen M, Lelieveld P, De Vos D et al. *Inorg Chim Acta*, 1992, **196**: 115
- 5 Ugi I, Meyr R. *Org Synth Coll*, 1973, **5**: 1060
- 6 Verkuijsse H D, De Graaf W, Brandsma L. *Synth Commun*, 1988, **8**: 131
- 7 Kuivila H G, Beumel Jr O F. *J Am Chem Soc*, 1961, **83**: 1246
- 8 a) Vanderkerk G J M, Noltes J Z, Luijten J Z A. *J Appl Chem*, 1957, **7**: 366
b) Henry G K, Beumel O F Jr. *J Am Chem Soc*, 1961, **83**: 1246
- 9 Huade Pan, Rudolph W, Jacqueline M. *Organometallics*, 1990, **9**: 2199
- 10 赵天增. 核磁共振氢谱. 北京: 北京大学出版社, 1983: 106

Syntheses and Biological Activities of 1-(Z)-[2-(Triarylstannyl)vinyl] Cyclopentanols and Their Derivatives

Yue Shumei*, Dai Huicong, Pan Huade

(Department of Chemistry, Northeast Normal University, Changchun 130024)

Abstract Fourteen 1-(Z-[2-(triarylstannyl)vinyl] cyclopentanols were prepared by the reaction of triaryltin hydrides with 1-ethynylcyclopentanol. The reaction of compounds **1** and **2** with ICl, Br₂, and I₂ gave six organotin halides, respectively. The compounds were characterized by elemental analysis, IR, ¹H NMR and some of them showed antitumor and immune activities.

Keywords triarylstannyl-vinyl cyclopentanol, synthesis, biological activity